

ОПРЕДЕЛЕНИЕ КОНЕЧНОЙ ОБЛАСТИ НАЧАЛЬНЫХ ОТКЛОНЕНИЙ,
ПРИ КОТОРЫХ ДВИЖЕНИЯ ОСТАЮТСЯ АСИМПТОТИЧЕСКИ
УСТОЙЧИВЫМИ, ДЛЯ СИСТЕМЫ ДВУХ УРАВНЕНИЙ
ПЕРВОГО ПОРЯДКА

И. А. К у н и н

(Новосибирск)

Возможность построения области устойчивости при помощи второго метода Ляпунова указана Н. Г. Четаевым [1]. В настоящей работе рассматривается качественная картина построения такой области применительно к системе двух уравнений первого порядка общего вида. Рассмотрен вопрос о построении максимального эллипса устойчивости.

§ 1. Рассмотрим систему вида

$$\begin{aligned}\dot{x} &= p_{11}x + p_{12}y + P'(x, y) = P(x, y) \\ \dot{y} &= p_{21}x + p_{22}y + Q'(x, y) = Q(x, y)\end{aligned}\quad (1.1)$$

При этом в дальнейшем будем предполагать выполненными следующие условия.

1. В точке $(0, 0)$ выполнены условия Гурвица, т. е.

$$p_{11} + p_{22} < 0, \quad p_{11}p_{22} - p_{12}p_{21} > 0 \quad (1.2)$$

2. Функции $P'(x, y)$ и $Q'(x, y)$ голоморфны на всей плоскости, и их разложения в степенные ряды начинаются с членов второго порядка относительно x, y .

Зададимся функцией Ляпунова

$$V = Ax^2 + 2Bxy + Cy^2 \quad (1.3)$$

и определим ее коэффициенты из условия

$$\dot{V}' = \frac{\partial V}{\partial x}(p_{11}x + p_{12}y) + \frac{\partial V}{\partial y}(p_{21}x + p_{22}y) = -\alpha x^2 - \beta y^2 \quad (1.4)$$

Здесь \dot{V}' — полная производная по времени функции Ляпунова, составленная в силу линейного приближения системы (1.1), α, β — произвольные положительные величины.

Как показал Ляпунов [2], условие (1.4) однозначно определяет положительную знакоопределенную форму. При этом легко убедиться, что ее коэффициенты будут линейными функциями α и β .

Следовательно, функцию V можно представить в виде

$$V = \alpha V_\alpha + \beta V_\beta \quad (1.5)$$

где

$$V_\alpha = m_1x^2 + 2m_{12}xy + m_2y^2, \quad V_\beta = n_1x^2 + 2n_{12}xy + n_2y^2 \quad (1.6)$$

Коэффициенты функций V_α и V_β с точностью до общего произвольного положительного множителя даются формулами

$$\begin{aligned} m_1 &= p_{22}^2 - p_{12}p_{21} + p_{11}p_{22}, & m_{12} &= -p_{12}p_{22}, & m_2 &= p_{12}^2 \\ n_2 &= p_{11}^2 - p_{12}p_{21} + p_{11}p_{22}, & n_{12} &= -p_{21}p_{11}, & n_1 &= p_{21}^2 \end{aligned} \quad (1.7)$$

Функции V_α и V_β — положительные знакоопределенные формы. Действительно, иначе выбором α и β можно сделать функцию знакопеременной. Если зафиксировать некоторые значения α и β и образовать

$$\dot{V} = \frac{\partial V}{\partial x} P(x, y) + \frac{\partial V}{\partial y} Q(x, y) = \dot{V}' + \frac{\partial V}{\partial x} P'(x, y) + \frac{\partial V}{\partial y} Q'(x, y) \quad (1.8)$$

в силу уравнений (1.1), то можно утверждать, что начало координат будет окружать конечная область, в которой $\dot{V} < 0$.

Построим кривую $\dot{V} = 0$ и впишем в нее эллипс $V(x, y) = V(x_0, y_0)$, где x_0, y_0 — координаты точки касания. Этот эллипс ограничит область асимптотической устойчивости, т. е. область, обладающую тем свойством, что если $[x', y']$ принадлежит этой области, то

$$x = x(t - t'), \quad x', y' \rightarrow 0, \quad y = y(t - t', x', y') \rightarrow 0 \quad \text{при } t \rightarrow \infty \quad (1.9)$$

Размеры этой области, вообще говоря, должны существенно зависеть от выбора величины α и β .

§ 2. Будем непрерывно изменять постоянные α и β , оставляя их положительными. Точка касания кривых $V(x, y) = V(x_0, y_0)$, $\dot{V}(x, y) = 0$ будет описывать некоторую кривую — геометрическое место касания. Эта кривая будет функцией лишь отношения $\gamma = \beta/\alpha$ ($\gamma > 0$).

Можно показать (см. приложение 1), что кривая точек касания имеет следующее аналитическое выражение:

$$(\dot{V}_\alpha \ddot{V}_\beta - \dot{V}_\beta \ddot{V}_\alpha) \left(\frac{\partial V_\alpha}{\partial x} \frac{\partial V_\beta}{\partial y} - \frac{\partial V_\alpha}{\partial y} \frac{\partial V_\beta}{\partial x} \right) = 0 \quad (2.1)$$

и, следовательно, разбивается на две отдельные ветви. Первая из них

$$\dot{V}_\alpha \ddot{V}_\beta - \dot{V}_\beta \ddot{V}_\alpha = 0 \quad (2.2)$$

является основной и может быть еще записана в следующем виде:

$$\frac{d}{dt} \frac{\dot{V}_\alpha}{\dot{V}_\beta} = 0 \quad (2.3)$$

Обратимся ко второму уравнению. Оно приводится к виду

$$p_{21}x^2 - (p_{11} + p_{22})xy + p_{12}y^2 = 0 \quad (2.4)$$

или

$$(x_1x - y)(x - x_2y) = x_1x^2 - (1 + x_1x_2)xy + x_2y^2 = 0 \quad (2.5)$$

и распадается на уравнения двух прямых, проходящих через начало координат. Здесь

$$x_1 = \frac{p_{11} + p_{22} + \sqrt{(p_{11} + p_{22})^2 - 4p_{12}p_{21}}}{2p_{12}}, \quad x_2 = \frac{p_{11} + p_{22} + \sqrt{(p_{11} + p_{22})^2 - 4p_{12}p_{21}}}{2p_{21}} \quad (2.6)$$

Принимая во внимание очевидное неравенство $p_{11}^2 + p_{22}^2 > 2p_{11}p_{22}$, а также второе из условий (1.2), приходим к заключению, что x_1 и x_2 всегда вещественны.

Заметим, что если существуют точки пересечения кривых

$$\dot{V}_\alpha = \frac{\partial V_\alpha}{\partial x} \dot{x} + \frac{\partial V_\alpha}{\partial y} \dot{y} = 0, \quad \dot{V}_\beta = \frac{\partial V_\beta}{\partial x} \dot{x} + \frac{\partial V_\beta}{\partial y} \dot{y} = 0$$

то они лежат на этих прямых. Действительно, исключая из уравнений кривых \dot{x} и \dot{y} , получаем уравнения прямых

$$\frac{\partial V_\alpha}{\partial x} \frac{\partial V_\beta}{\partial y} - \frac{\partial V_\alpha}{\partial y} \frac{\partial V_\beta}{\partial x} = 0 \tag{2.7}$$

То обстоятельство, что эти прямые фигурируют в условии (2.1), имеет следующее объяснение. Если в выражении (1.5) для V_α и V_β будут иметь разные знаки, то при некотором $\gamma < 0$ $V = C$ выродится в семейство прямых. В этом случае кривые $\dot{V} = 0$ вырождаются в две данные прямые, совпадающие с двумя прямыми семейства $V = C$.

§ 3. Известно, что две знакоопределенные формы одним линейным преобразованием могут быть приведены к каноническому виду. Найдем такое преобразование для функций V_α и V_β . На помощь приходят следующие геометрические соображения. Прямые, определяемые уравнением (2.7), являются местом точек касания эллипсов $V_\alpha = \text{const}$ и $V_\beta = \text{const}$. Если преобразовать прямые в оси координат, то они будут совпадать с главными осями этих эллипсов. Легко видеть, что таким преобразованием будет следующее:

$$y = x_1 \xi + \eta, \quad x = \xi + x_2 \eta \tag{3.1}$$

Непосредственным вычислением можно проверить, что преобразование (3.1) действительно приводит V_α и V_β к виду

$$V_\alpha = M_1 \xi^2 + M_2 \eta^2, \quad V_\beta = N_1 \xi^2 + N_2 \eta^2 \tag{3.2}$$

где

$$\begin{aligned} M_1 &= m_1 + m_2 x_1^2 + 2m_{12} x_1, & M_2 &= m_2 + m_1 x_2^2 + 2m_{12} x_2 \\ N_1 &= n_1 + n_2 x_1^2 + 2n_{12} x_1, & N_2 &= n_2 + n_1 x_2^2 + 2n_{12} x_2 \end{aligned} \tag{3.3}$$

Уравнения движения в новых координатах будут иметь вид:

$$\begin{aligned} \dot{\xi} &= c_{11} \xi + c_{12} \eta + \Delta [P'(\xi, \eta) - x_2 Q'(\xi, \eta)] \\ \dot{\eta} &= c_{21} \xi + c_{22} \eta + \Delta [Q'(\xi, \eta) - x_1 P'(\xi, \eta)] \end{aligned} \tag{3.4}$$

где

$$\begin{aligned} c_{11} &= \Delta (p_{11} - p_{22} x_1 x_2), & c_{12} &= \Delta [p_{12} - p_{21} x_2^2 + x_2 (p_{11} - p_{22})] \\ c_{22} &= \Delta (p_{22} - p_{11} x_1 x_2), & c_{21} &= \Delta [p_{21} - p_{12} x_1^2 - x_1 (p_{11} - p_{22})] \end{aligned} \quad \left(\frac{1}{\Delta} = 1 - x_1 x_2 \right) \tag{3.5}$$

Заметим, что в новой системе координат функции $V_\alpha(\xi, \eta)$ и $V_\beta(\xi, \eta)$ несколько изменяют свой смысл. А именно, они будут образованы не из условия

$$\dot{V}' = -\alpha \xi^2 - \beta \eta^2$$

а из условия

$$\dot{V}' = -[(\alpha + \beta x_1^2) \xi^2 + 2(\alpha x_2 + \beta x_1) \xi \eta + (\alpha x_2^2 + \beta) \eta^2] \tag{3.6}$$

§ 4. Практически преобразование (3.1) часто может быть весьма неудобным, если оно приводит к усложнению правых частей уравнения. Это, в частности, будет иметь место при наличии в правых частях нелинейных функций одного переменного.

В связи с этим поставим следующую задачу. Будем рассматривать заданную систему

$$\dot{\xi} = c_{11}\xi + c_{12}\eta + P'(\xi, \eta) \quad \dot{\eta} = c_{21}\xi + c_{22}\eta + Q'(\xi, \eta) \quad (4.1)$$

как результат преобразования (3.1) некоторой первоначальной системы (1.1). Если мы сумеем найти коэффициенты p_{ik} первоначальной системы и коэффициенты преобразования x_1 и x_2 , то по формулам (1.7) и (3.3) мы сможем вычислить коэффициенты функций V_α и V_β . Таким образом, не производя самого преобразования, можно получить функции V_α и V_β в наиболее простой и удобной форме. Для этого нужно решить следующую систему уравнений:

$$\begin{aligned} p_{11} - p_{22}x_1x_2 &= c_{11}(1 - x_1x_2) \\ p_{22} - p_{11}x_1x_2 &= c_{22}(1 - x_1x_2) \\ p_{12} - p_{21}x_2^2 + x_2(p_{11} - p_{22}) &= c_{12}(1 - x_1x_2) \\ p_{21} - p_{12}x_1^2 + x_1(p_{22} - p_{11}) &= c_{21}(1 - x_1x_2) \\ (p_{11} + p_{22})(x_1 - x_2) &= -(p_{12} - p_{21})(1 + x_1x_2) \\ (p_{11} + p_{22})(x_1 + x_2) &= (p_{12} + p_{21})(1 + x_1x_2) \end{aligned} \quad (4.2)$$

Первые четыре уравнения получены сравнением (4.1) и (3.5), последние два — сравнением (2.4) и (2.5). Приведем решение этой системы:

$$\begin{aligned} p_{11} &= \frac{1}{2}[c_{11} + c_{22} + (c_{11} - c_{22})R], & p_{12} &= \frac{c_{12}}{2c_{11}}(c_{11} + c_{22}) \\ p_{22} &= \frac{1}{2}[c_{11} + c_{22} - (c_{11} - c_{22})R], & p_{21} &= \frac{c_{21}}{2c_{22}}(c_{11} + c_{22}) \\ x_1 &= \frac{c_{21}}{c_{22}} \frac{1}{1+R}, & x_2 &= \frac{c_{12}}{c_{11}} \frac{1}{1+R} \quad \left(R = \sqrt{1 - \frac{c_{12}c_{21}}{c_{11}c_{22}}} \right) \end{aligned} \quad (4.3)$$

Теперь можно получить выражение коэффициентов функций V_α и V_β :

$$M_1 = c_{11}c_{22}, \quad N_1 = \frac{c_{21}^2}{(1+R)^2}, \quad M_2 = \frac{c_{12}^2}{(1+R)^2}, \quad N_2 = c_{11}c_{22} \quad (4.4)$$

Из этих формул видно, что коэффициенты будут вещественными только в том случае, если]

$$1 - \frac{c_{12}c_{21}}{c_{11}c_{22}} \geq 0 \quad (4.5)$$

Учитывая второе условие (1.3), можно утверждать, что это условие будет выполнено только при $c_{11}c_{22} > 0$. Это ограничение связано с одним свойством преобразования (3.1). Нетрудно показать (см. приложение II), что всегда будет

$$(p_{11} - p_{22}x_1x_2)(p_{22} - p_{11}x_1x_2) > 0 \quad (4.6)$$

и, следовательно, c_{11} и c_{22} в уравнениях (4.1) будут отрицательными, так как $c_{11} + c_{22} < 0$.

Получив интересующие нас формулы, можно вернуться к переменным x, y , задавая исходную систему в виде (1.1) и заменив c_{ik} в (4.4) на p_{ik} . Выражение (2.3) для кривой точек касания упростилось и имеет вид:

$$\frac{d}{dt} \frac{x\dot{x}}{y\dot{y}} = 0 \tag{4.7}$$

Точки пересечения кривых

$$\dot{V}_\alpha = M_1 x\dot{x} + M_2 y\dot{y} = 0, \quad \dot{V}_\beta = N_1 x\dot{x} + N_2 y\dot{y} = 0$$

лежат на осях координат и даются уравнениями

$$x = 0, \quad \dot{y} = 0; \quad y = 0, \quad \dot{x} = 0 \tag{4.8}$$

Функции \dot{V}_α и \dot{V}_β имеют на осях одинаковые знаки, а их отношения равны M_1/N_1 и M_2/N_2 . При этом до точек (4.8) \dot{V}_α и \dot{V}_β отрицательны (так как начало координат окружает область, в которой $\dot{V} = \dot{V}_\alpha + \gamma\dot{V}_\beta < 0$), а после этих точек положительны. В точках (4.8) траектории перпендикулярны к осям. Это следует из того, что через эти точки проходит кривая $x\dot{x} + y\dot{y} = 0$. До точек (4.8) траектории составляют с осями углы, большие $\frac{1}{2}\pi$ (или $\frac{3}{2}\pi$), а после этих точек — углы, меньшие $\frac{1}{2}\pi$ (или $\frac{3}{2}\pi$).

Вообще говоря, точки (4.8) могут и отсутствовать. Это соответствует тому, что кривые $\dot{V}_\alpha = 0$ и $\dot{V}_\beta = 0$, не пересекая осей координат, уходят в бесконечность или вырождаются в точку $[0, 0]$. На фиг. 1 показаны два основных случая расположения кривых $\dot{V}_\alpha = 0$ и $\dot{V}_\beta = 0$. Заштрихованы области, в которых соответственно $\dot{V}_\alpha < 0$ и $\dot{V}_\beta < 0$.

§ 5. Если на фиг. 1 в области (\pm) , где $\dot{V}_\alpha > 0, \dot{V}_\beta < 0$, и (\mp) , где $\dot{V}_\alpha < 0, \dot{V}_\beta > 0$, построить семейство кривых $\dot{V}_\alpha = \text{const}$ и $\dot{V}_\beta = \text{const}$ и провести семейство кривых равных отношений $\dot{V}_\alpha/\dot{V}_\beta$, т. е. семейство кривых $\dot{V} = 0$ в функции от параметра γ , то мы сможем отметить следующие закономерности (на фиг. 1 индексом γ_i обозначены кривые $\dot{V} = \dot{V}_\alpha + \gamma_i\dot{V}_\beta = 0$, причем $\gamma_3 > \gamma_2 > \gamma_1 > 0$).

1. При наличии точек (4.8) все кривые $\dot{V} = 0$ проходят через них, имея общую касательную, так как эти точки удовлетворяют уравнению кривой точек касания (4.7) и в них касательны все эллипсы семейства $V = V_\alpha + \gamma V_\beta = c$. В этих точках кривые $\dot{V} = 0$ «перехлестываются». Других точек пересечения они иметь не могут.

2. Если кривые $\dot{V}_\alpha = 0$ и $\dot{V}_\beta = 0$ замкнуты, то и кривые $\dot{V} = 0$ замкнуты, так как они целиком расположены в областях (\pm) и (\mp) и переходят из одной области в другую только через точки (4.8).

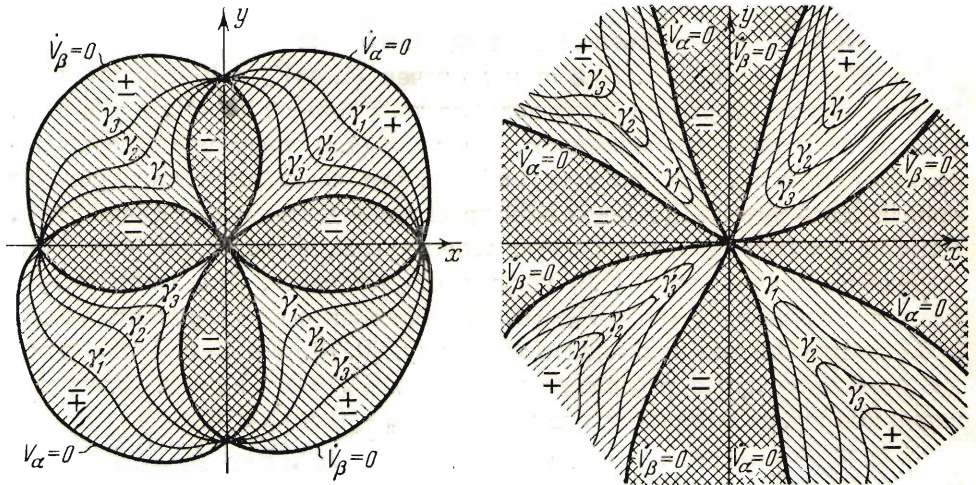
3. Если таких точек нет, то кривые $\dot{V} = 0$, не пересекаясь, уходят своими ветвями в бесконечность, оставаясь внутри области, ограниченной кривыми $\dot{V}_\alpha = 0$ или $\dot{V}_\beta = 0$.

4. Кривые $\dot{V} = 0$ в области (\pm) расположены так, что кривые, соответствующие меньшим значениям γ , лежат ближе к началу координат, чем кривые, соответствующие большим значениям γ . Для области (\mp) имеем обратную картину.

Отсюда следует, что ветвь кривой точек касания, лежащая в области (\pm) , обладает тем свойством, что если двигаться по ней от начала координат, то мы будем переходить от точек, соответствующих меньшим γ , к точкам, соответствующим большему γ . Для ветви кривой, лежащей в области (\mp) , имеем обратную картину.

Таким образом, мы имеем по меньшей мере четыре точки касания для данного значения γ .

Каждая точка $[x_0, y_0]$ определяет свой эллипс $V(x, y) = V(x_0, y_0)$. За эллипс устойчивости мы обязаны выбрать тот эллипс, для которого $V(x_0, y_0)$ является наименьшим.



Фиг. 1

Пусть наименьшее значение $V(x_0, y_0)$ дала точка, лежащая в области (\pm) . Тогда можно ожидать, что, выбрав большее значение γ , мы получим большее значение $V(x_0, y_0)$ и эллипс больших размеров. Этот процесс увеличения γ мы можем продолжать до тех пор, пока нас не станет лимитировать уже точка касания, лежащая в области (\mp) .

В соответствии с нарисованной картиной возможен следующий метод построения оптимального эллипса устойчивости.

Задаваясь произвольным $\gamma > 0$, находим точки касания и определяем ту из них, для которой $V(x_0, y_0)$ имеет наименьшее значение.

По знаку $\dot{V}_\alpha(x_0, y_0)$ определяем, в какой области она находится. Это дает нам указание на то, в какую сторону следует изменять γ .

Если при измененном γ лимитирующая точка касания перейдет в другую область, то это будет означать, что мы захватили γ «в вилку».

Продолжая этот процесс далее, можно найти оптимальное значение γ с любой степенью точности. Практически иногда может оказаться более удобным находить точки касания не из уравнений касания, а как точки, принадлежащие кривой (4.7).

Отметим, что когда γ меняется в пределах от 0 до ∞ , отношение полуосей эллипсов меняется в пределах

$$\text{от } \frac{P_{12}}{\sqrt{P_{11}P_{22}}} \frac{1}{1+R} \quad \text{до } \frac{\sqrt{P_{11}P_{22}}}{P_{21}} (1+R)$$

В то же время как при $\gamma \rightarrow 0$, так и при $\gamma \rightarrow \infty$ эллипс устойчивости стягивается в точку $[0, 0]$.

§ 6. Приложение 1. Точка касания кривых $\dot{V} = 0$ и $V = C$ определяется следующей системой уравнений:

$$\dot{V} = 0, \quad \frac{\partial V}{\partial x} \frac{\partial \dot{V}}{\partial y} - \frac{\partial V}{\partial y} \frac{\partial \dot{V}}{\partial x} = 0 \tag{6.1}$$

Эти уравнения можно записать в следующем виде:

$$\alpha \dot{V}_\alpha + \beta \dot{V}_\beta = 0, \quad a\alpha^2 + 2b\alpha\beta + c\beta^2 = 0 \tag{6.2}$$

Здесь

$$a = \frac{\partial(V_\alpha, \dot{V}_\alpha)}{\partial(x, y)}, \quad c = \frac{\partial(V_\beta, \dot{V}_\beta)}{\partial(x, y)}, \quad 2b = \frac{\partial(V_\alpha, \dot{V}_\beta)}{\partial(x, y)} - \frac{\partial(V_\beta, \dot{V}_\alpha)}{\partial(x, y)} \tag{6.3}$$

Система (6.2) будет иметь отличные от нулевых решения относительно α и β тогда и только тогда, когда

$$\begin{vmatrix} \dot{V}_\alpha & \dot{V}_\beta \\ a\alpha + b\beta & c\beta + b\alpha \end{vmatrix} = \alpha(b\dot{V}_\alpha - a\dot{V}_\beta) - \beta(b\dot{V}_\beta - c\dot{V}_\alpha) = 0 \tag{6.4}$$

Исключив α и β из уравнения (6.4) и первого уравнения системы (6.2), получим

$$\dot{V}_\beta(a\dot{V}_\beta - b\dot{V}_\alpha) + \dot{V}_\alpha(c\dot{V}_\alpha - b\dot{V}_\beta) = 0 \tag{6.5}$$

Это соотношение и дает нам уравнение искомой кривой точек касания. Его можно преобразовать к более простому виду. Для этого предварительно докажем одно тождество.

Имеем очевидное соотношение

$$\frac{\partial(V_i, \dot{V}_k)}{\partial(x, y)} = \frac{1}{\dot{x}\dot{y}} \left[\left(\dot{V}_i - \frac{\partial V_i}{\partial y} \dot{y} \right) \left(\ddot{V}_k - \frac{\partial \dot{V}_k}{\partial x} \dot{x} \right) - \left(\dot{V}_i - \frac{\partial V_i}{\partial x} \dot{x} \right) \left(\ddot{V}_k - \frac{\partial \dot{V}_k}{\partial y} \dot{y} \right) \right]$$

Отсюда легко получить

$$\frac{\partial(V_i, \dot{V}_k)}{\partial(x, y)} = \frac{1}{2\dot{x}\dot{y}} [\ddot{V}_k R_i - \dot{V}_i \bar{R}_k] \tag{6.6}$$

Здесь

$$R_i = \frac{\partial V_i}{\partial x} \dot{x} - \frac{\partial V_i}{\partial y} \dot{y}, \quad \bar{R}_k = \frac{\partial \dot{V}_k}{\partial x} \dot{x} - \frac{\partial \dot{V}_k}{\partial y} \dot{y}$$

Учитывая это тождество и преобразуя формулу (6.5), получаем искомое выражение для кривой точек касания:

$$(\ddot{V}_\alpha \dot{V}_\beta - \ddot{V}_\beta \dot{V}_\alpha) \left(\frac{\partial V_\alpha}{\partial x} \frac{\partial V_\beta}{\partial y} - \frac{\partial V_\alpha}{\partial y} \frac{\partial V_\beta}{\partial x} \right) = 0 \tag{6.7}$$

Следует отметить, что выражение (2.2) можно получить чрезвычайно просто, исходя из следующих геометрических соображений. В точке касания кривых $V = C$

$\dot{V} = 0$ траектория касательна к кривой $\dot{V} = 0$. Значит, в точке касания равна нулю и вторая производная. Исключая α и β из уравнений

$$\dot{V} = \alpha \dot{V}_\alpha + \beta \dot{V}_\beta = 0, \quad \ddot{V} = \alpha \ddot{V}_\alpha + \beta \ddot{V}_\beta = 0$$

мы и получим формулу (2.2). Однако при этом мы потеряли второе уравнение (2.7).

Приложение 2. Для доказательства неравенства $(p_{11} - p_{22}x_1x_2)(p_{22} - p_{11}x_1x_2) > 0$ преобразуем произведение следующим образом:

$$\begin{aligned} (p_{11} - p_{22}x_1x_2)(p_{22} - p_{11}x_1x_2) &= p_{11}p_{22} - p_{22}^2x_1x_2 - p_{11}^2x_1x_2 + p_{11}p_{12}x_1^2x_2^2 + \\ &+ 2p_{11}p_{22}x_1x_2 - 2p_{11}p_{22}x_1x_2 = p_{11}p_{22}(1 + x_1x_2)^2 - x_1x_2(p_{11} + p_{22})^2 \end{aligned} \quad (6.8)$$

Таким образом, достаточно показать, что

$$p_{11}p_{22}(1 + x_1x_2)^2 - x_1x_2(p_{11} + p_{22})^2 > 0 \quad (6.9)$$

Возможны три следующих случая:

$$\text{а) } p_{12}p_{21} > 0$$

Учитывая (1.2) и (2.6), в этом случае имеем

$$p_{11}p_{22} > 0, \quad x_1x_2 > 0 \quad (6.10)$$

Сравнивая коэффициенты в (2.4) и (2.5), получаем

$$\frac{p_{21}}{x_1} = \frac{p_{11} + p_{22}}{1 + x_1x_2} = \frac{p_{12}}{x_2}$$

Отсюда

$$p_{12}p_{21}(1 + x_1x_2)^2 - x_1x_2(p_{11} + p_{22})^2 = 0$$

Принимая во внимание (6.10) и (1.2), получаем неравенство (6.9).

$$\text{б) } p_{12}p_{21} < 0$$

В этом случае знак $p_{11}p_{22}$ произволен, а $x_1x_2 < 0$. Учитывая (1.2), получаем неравенство (6.9).

$$\text{в) } p_{12}p_{21} = 0$$

В этом случае $p_{11}p_{22} > 0$, $x_1x_2 = \pm \infty$. Порядок второго члена неравенства (6.9) ниже порядка первого члена. Следовательно, неравенство (6.9) выполнено.

Таким образом, неравенство (6.9) справедливо во всех случаях.

В заключение автор считает своим долгом выразить искреннюю благодарность А. И. Лурье за ряд ценных советов и внимание, проявленное к работе.

Поступила 15 I 1952

ЛИТЕРАТУРА

1. Четаев Н. Г. Устойчивость движения. ГТИ. 1946.
2. Ляпунов А. М. Общая задача об устойчивости движения. ГТТИ. 1950.